

# Die Fourier-Transformation

Mohamed Kemel Koumenji

Departement Informatik HAW Hamburg

Wintersemester 2013

Prof. Dr. Wolfgang Fohl

- 1 – Komplexe Zahlen
- 2 – Kontinuierliche Fourier-Transformation
- 3 – Diskrete Fourier- Transformation
- 4 – DFT Implementierung In Matlab
- 5 - Quellen

Problem:

$$X^2 + 1 = 0 ?$$

Die Lösung liegt in

$$X_{1,2} \in C \{ z \mid z = x + iy; x, y \in \mathbb{R} \}$$

$i^2 = -1$       Imaginäre Einheit

Kartesische Form

$$z = x + iy$$

$$x = \operatorname{Re}(z) \quad \text{Realteil}$$

$$y = \operatorname{Im}(z) \quad \text{Imaginär Teil}$$

Polar Form

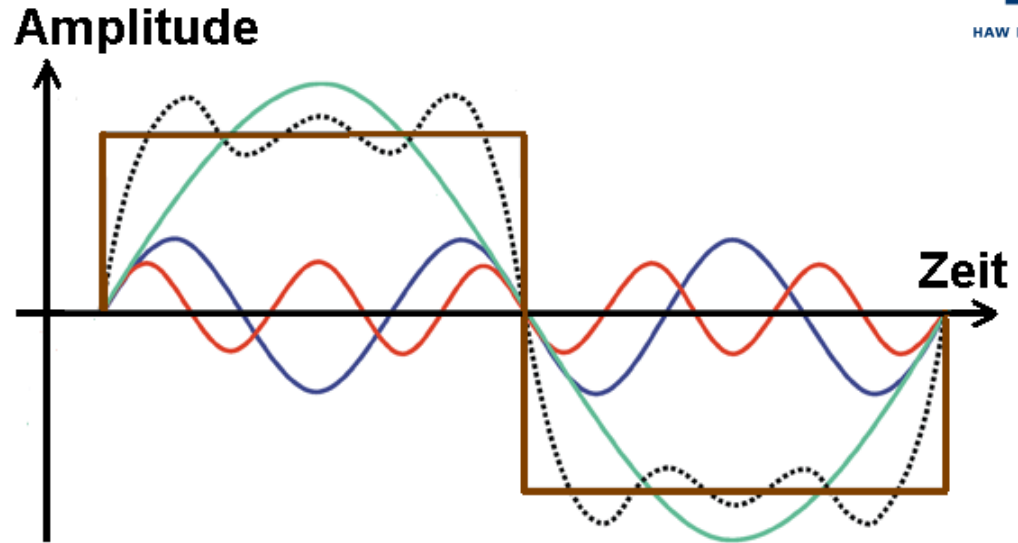
$$z = r \cdot \exp(i\theta)$$

$$r = |z| = \sqrt{x^2 + y^2}$$

$$\theta = \arctan(y / x)$$

$$x = r \cos(\theta)$$

$$y = r \sin(\theta)$$



*Annäherung an die Rechteckwelle (Verfahren nach Fourier)  
[[www.analogeklangsynthese.de](http://www.analogeklangsynthese.de)]*

*Jean Baptiste Joseph Fourier  
(französischer Mathematiker  
und Physiker, \*1768, †1830)  
[[cobalt.chem.ucalgary.ca](http://cobalt.chem.ucalgary.ca)]*

*Jede beliebige Wellenform lässt sich als eine Summe von  
verschiedenen Sinuswellen berechnen.*

*Fourier 1822*

$$F(j\omega) = \int_{-\infty}^{+\infty} f(t) \cdot e^{-j\omega t} dt \quad [\text{Mey10}] \text{ Kap. 3 F. 2}$$

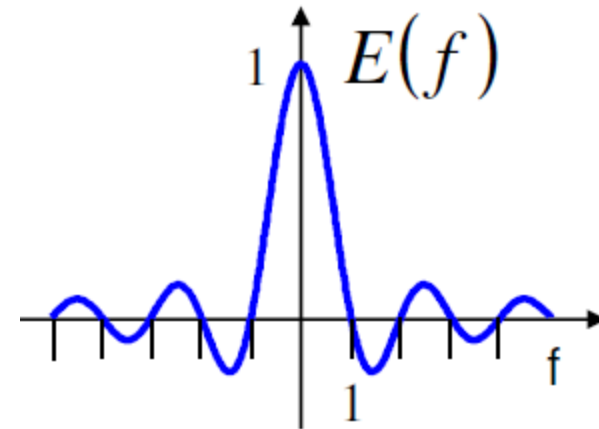
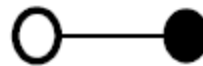
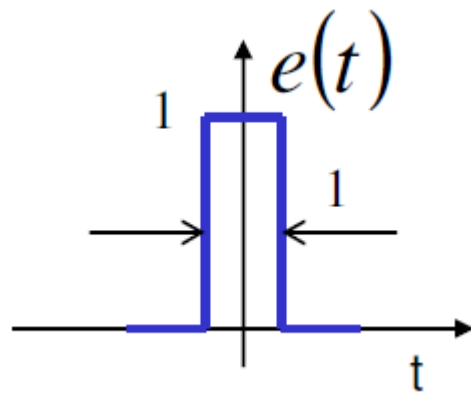
$$F(j\omega) = \mathfrak{F}\{f(t)\} \quad \text{Fourier-Transformation}$$

$$F(j\omega) \bullet \longleftrightarrow f(t) \quad \text{Fourier-Korrespondenz}$$

$$\begin{aligned} F(j\omega) &= \text{Re}\{F(j\omega)\} + j\text{Im}\{F(j\omega)\} \quad \text{komplex} \\ &= |F(j\omega)| \cdot e^{j\varphi(j\omega)} \end{aligned}$$

Existenzbedingung = absolut integrierbar:

$$\int_{-\infty}^{+\infty} |f(t)| dt \leq M < \infty$$



Korrespondenz  $rect(t) \circ \bullet \text{si}\left(\frac{\omega}{2}\right)$

[Roh10] Einleitung. 2 F.25

$$\text{Dirac-Impuls } \delta(t) : \int_{-\infty}^{+\infty} x(t) \cdot \delta(t) dt := x(0)$$

$$\text{für } x(t)=1 : \int_{-\infty}^{+\infty} \delta(t) dt = 1 \quad \text{Normierungsbedingung}$$

Darstellung beliebiger Funktionen durch den Dirac-Impuls:

$$\int_{-\infty}^{+\infty} x(t - \lambda) \delta(\lambda) d\lambda = x(t) \quad : \text{ Abtastung bei } \lambda = 0$$

Mit der Substitution  $\lambda \rightarrow t - \tau$  :

$$x(t) = \int_{-\infty}^{+\infty} x(\tau) \delta(t - \tau) d\tau$$

[Mey10] Kap. 4 F.5



$$\int_{-\infty}^{+\infty} 1 \cdot e^{+j\omega t} d\omega = 2\pi \delta(t) \quad \text{Fourier-Umkehrintegral}$$

*[Fli91] Kap. A1.13.2*

$$F(j\omega) = 1 \bullet \longleftrightarrow f(t) = 2\pi \delta(t) \quad \text{Fourier-Korrespondenz}$$

[Mey10] Kap. 3 F.12

$$f(t) = \frac{1}{2\pi} \int_{-\infty}^{+\infty} F(j\omega) e^{j\omega t} d\omega$$

[Fli91] Gl. 2.2.2 und 2.6.1

Beweis für die Richtigkeit der Definition durch Einsetzen in das Fourier-Integral:

$$\begin{aligned} f(t) &= \frac{1}{2\pi} \int_{-\infty}^{+\infty} \underbrace{\int_{-\infty}^{+\infty} f(\tau) e^{-j\omega\tau} d\tau}_{F(j\omega)} e^{j\omega t} d\omega \\ &= \frac{1}{2\pi} \int_{-\infty}^{+\infty} f(\tau) \underbrace{\int_{-\infty}^{+\infty} e^{j\omega(t-\tau)} d\omega}_{2\pi\delta(t-\tau)} d\tau \\ &\quad \text{mit } \int_{-\infty}^{+\infty} e^{j\omega t} d\omega = 2\pi\delta(t) \quad [Fli91] \text{ Gl. A1.13.2} \end{aligned}$$

Damit ist

$$\begin{aligned} f(t) &= \frac{1}{2\pi} \int_{-\infty}^{+\infty} f(\tau) 2\pi\delta(t-\tau) d\tau \quad \text{mit Substitution } t-\tau \rightarrow \lambda \\ &\equiv f(t) \quad \text{laut Abtasteigenschaft des Dirac-Impulses} \end{aligned}$$

[Mey10] Kap. 4 F.7

$$X[k] = \sum_{n=0}^{N-1} x(n) e^{-jkn\pi/N}$$

$X[k]$  =  $k$  DFT Ausgangskomponente mit  $k=0,1,2 \dots N-1$

$k$  = Index der DFT Ausgang in Frequenzbereich

$x(n)$  =  $n$  abgetastete Eingangskomponente mit  $n=0,1,2 \dots N-1$

$n$  = Index der Abgetastete Signal in Zeitbereich

$N$  = Anzahl von Samples

## 3.2 – Wie funktioniert die DFT?

$$e^{\pm j\theta} = \cos(\theta) \pm j\sin(\theta) \quad \text{Eulersche Formel}$$

$$X[k] = \sum_{n=0}^{N-1} x(n) [\cos(2\pi kn/N) - j\sin(2\pi kn/N)]$$

$$\begin{aligned} X[k] = & x(0) [\cos(2\pi k0/N) - j\sin(2\pi k0/N)] \\ & + x(1) [\cos(2\pi k1/N) - j\sin(2\pi k1/N)] \\ & + x(2) [\cos(2\pi k2/N) - j\sin(2\pi k2/N)] \\ & \cdot \\ & \cdot \\ & \cdot \\ & + x(n) [\cos(2\pi kn/N) - j\sin(2\pi kn/N)] \end{aligned}$$

$$\text{Frequenz} = k * \frac{F_s}{N}$$

$$\text{Annahme } F_s = 8\text{Khz}, N = 8$$

$$\text{Wenn } k = 0 \rightarrow f = 0 \text{ Hz}$$

$$\text{Wenn } k = 1 \rightarrow f = 1 \text{ KHz}$$

·  
·  
·  
·  
·

$$X[k] = \sum_{n=0}^{N-1} x(n) [\cos(2\pi kn/N) - j \sin(2\pi kn/N)]$$

X[0] = 0.176
X[1] = 0.70711
X[2] = 0.82322
X[3] = 0.95711
X[4] = -0.17678
X[5] = -0.70711
X[6] = -0.82322
X[7] = -0.95711

Abgetastete Werte

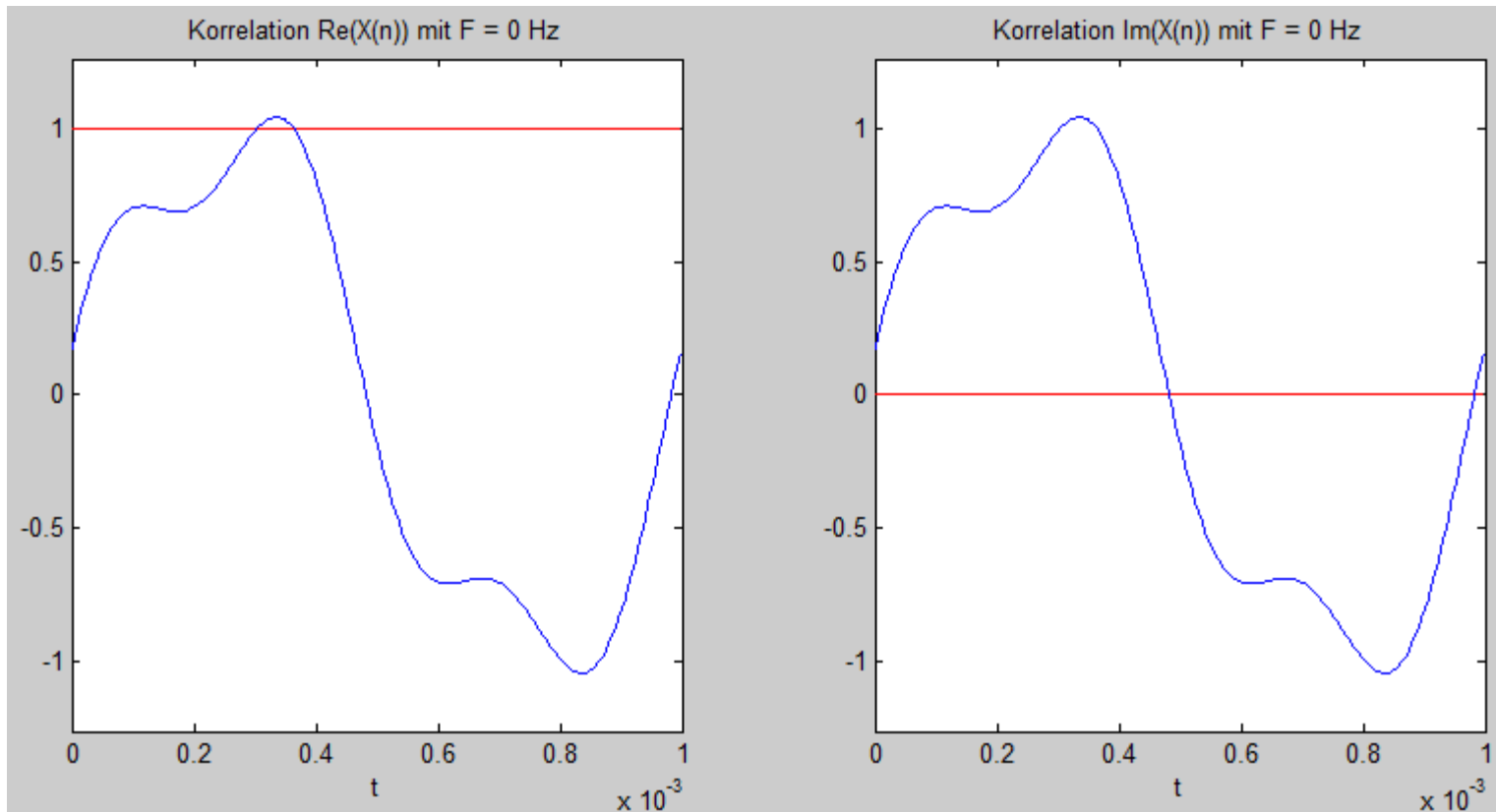
$$\text{Frequenz} = k * \frac{F_s}{N}$$

Annahme  $F_s = 8\text{KHz}$ ,  $N = 8$

K= 0 => f = 0 Hz
K= 1 => f = 1 KHz
K= 2 => f = 2 KHz
K= 3 => f = 3 KHz
K= 4 => f = 4 KHz
K= 5 => f = 5 KHz
K= 6 => f = 6 KHz
K= 7 => f = 7 KHz

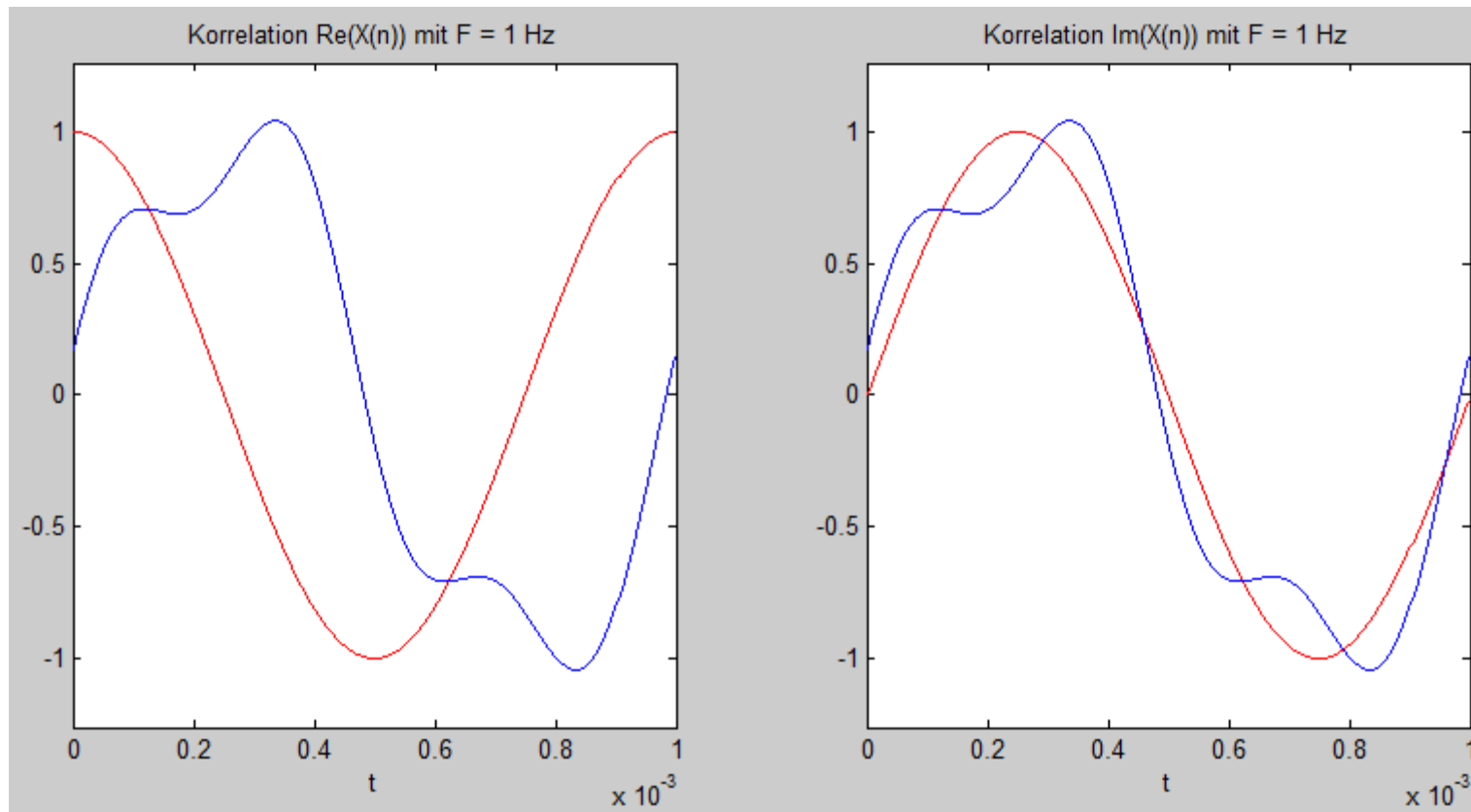
Im Signal gesuchte Frequenzen

### 3.3.1 – Korrelation Sinus mit $f = 0$ Hz und Input



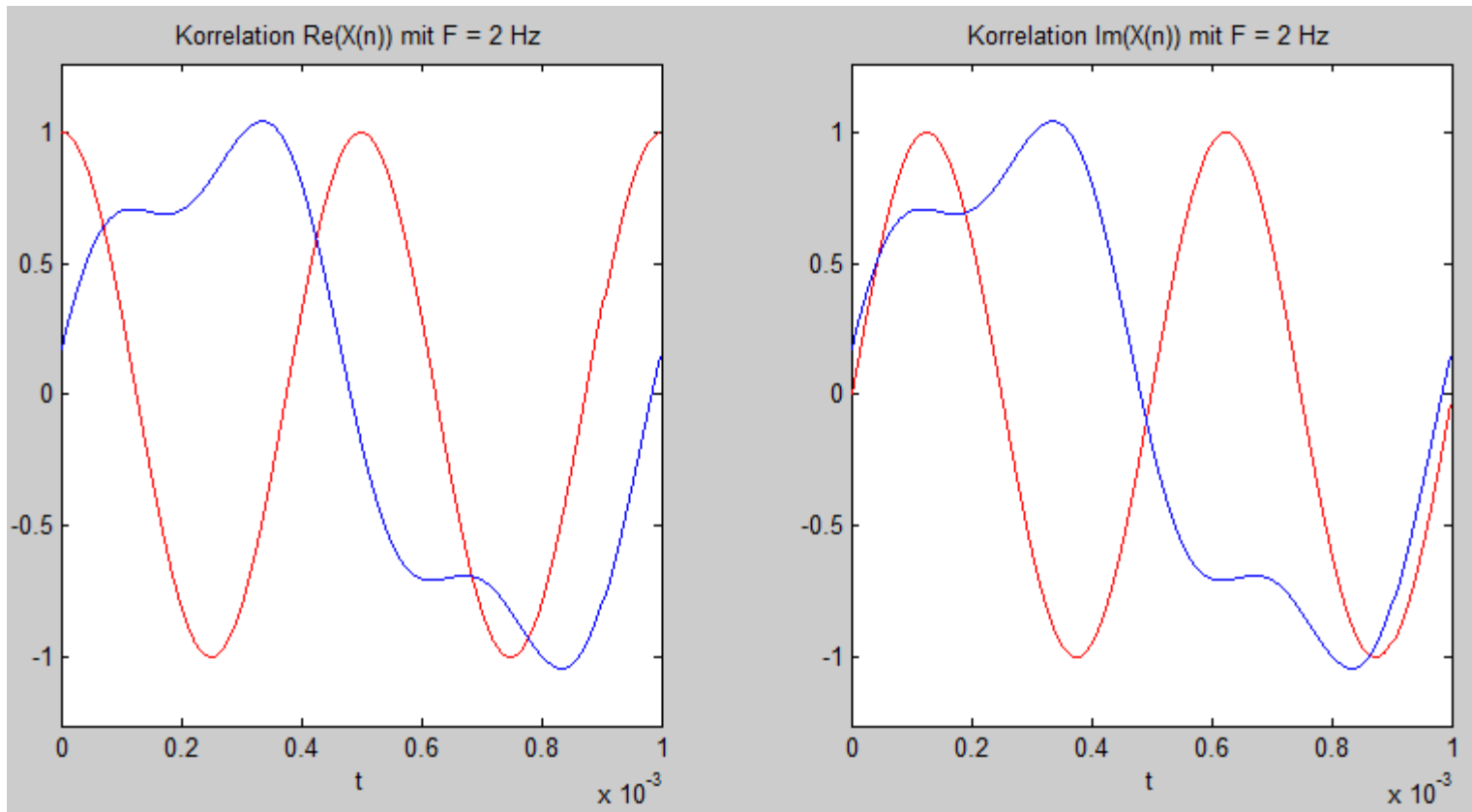
$$X[0] = 0 + j0$$

### 3.3.2 – Korrelation Sinus mit $f = 1$ KHz und Input



$$X[1] = 0 + j4$$

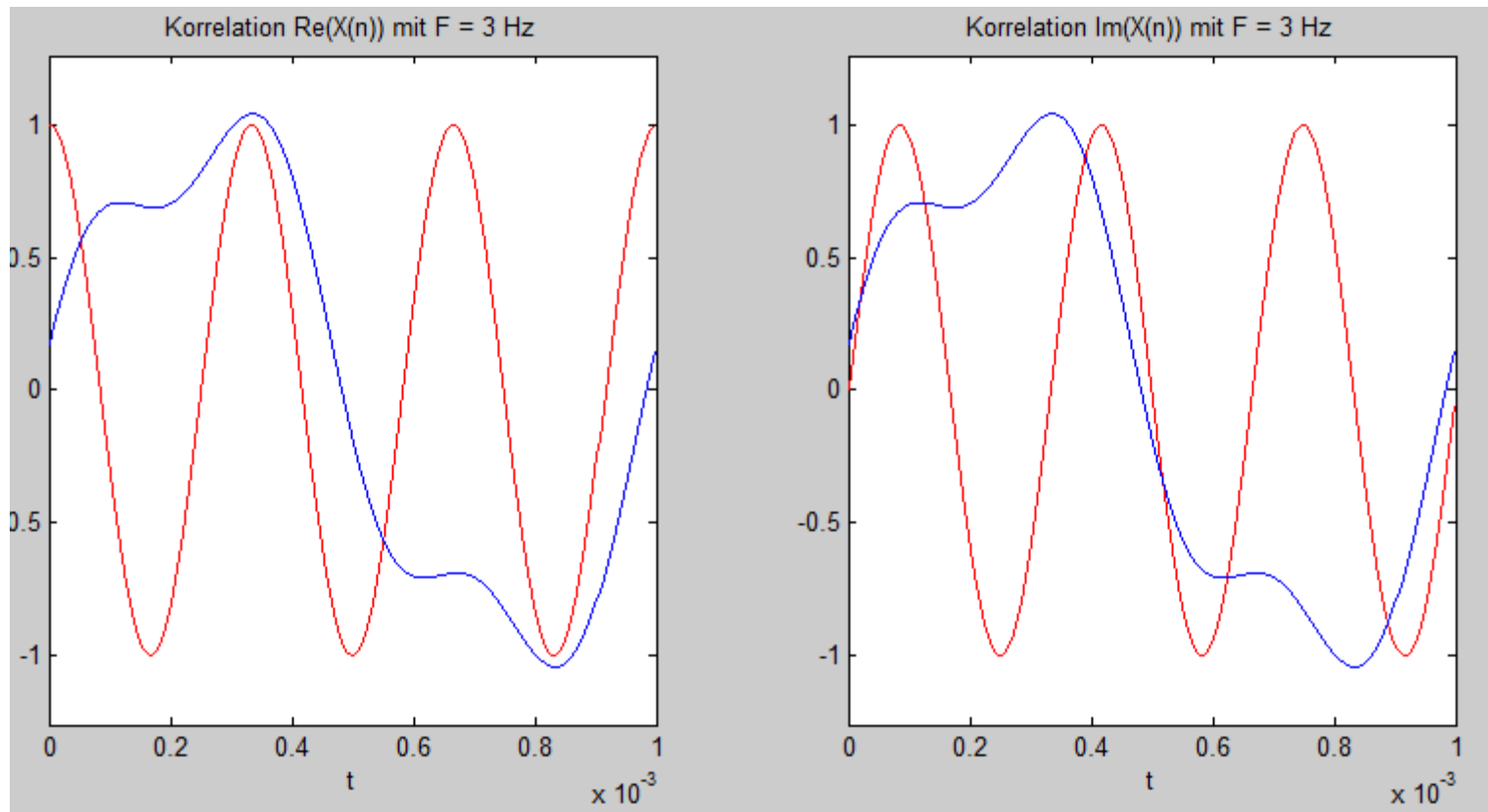
### 3.3.3 – Korrelation Sinus mit $f = 2$ KHz und Input



$$X[2] = 0 + 0j$$

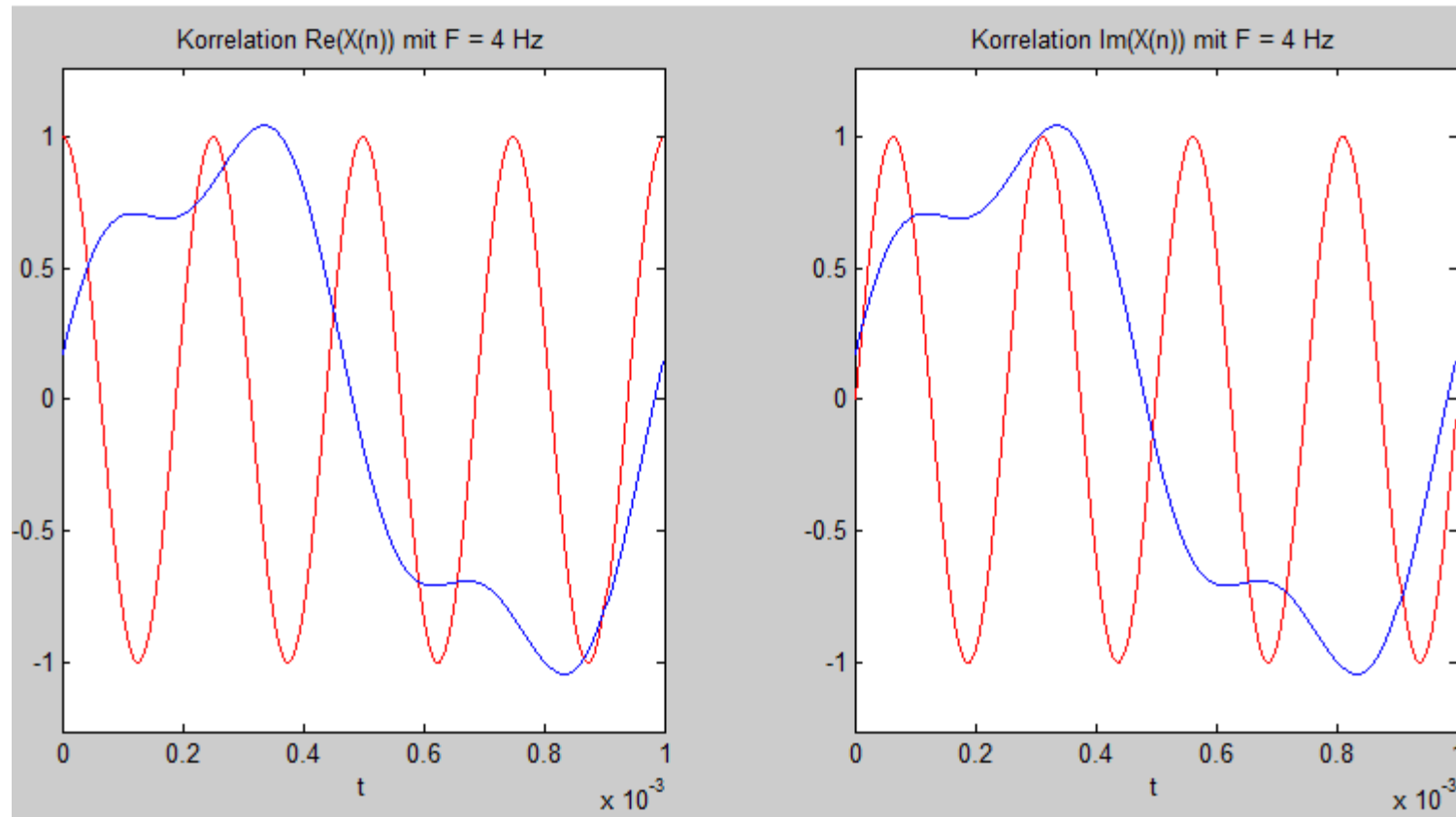


### 3.3.4 – Korrelation Sinus mit $f = 3$ KHz und Input



$$X[3] = 0.7071 + j 0.7071$$

### 3.3.5 – Korrelation Sinus mit $f = 4$ KHz und Input



$$X[4] = 0 + 0j$$

$$x(t) = \sin(2 \pi 1000t) * \sin(2\pi 3000t + \pi/4)$$

$X[0] = 0.176$
$X[1] = 0.70711$
$X[2] = 0.82322$
$X[3] = 0.95711$
$X[4] = -0.17678$
$X[5] = -0.70711$
$X[6] = -0.82322$
$X[7] = -0.95711$

$$\text{Frequenz} = k * \frac{F_s}{N}$$

mit  $F_s = 8\text{KHz}$ ,  $N = 8$



$$X[0] = 0 + j 0 = 0$$

$$X[1] = 0 - j 4 = (r = 4, \theta = -90)$$

$$X[2] = 0 - j 0 = 0$$

$$X[3] = 0.7071 - j 0.7071 = (r = 1, \theta = -45)$$

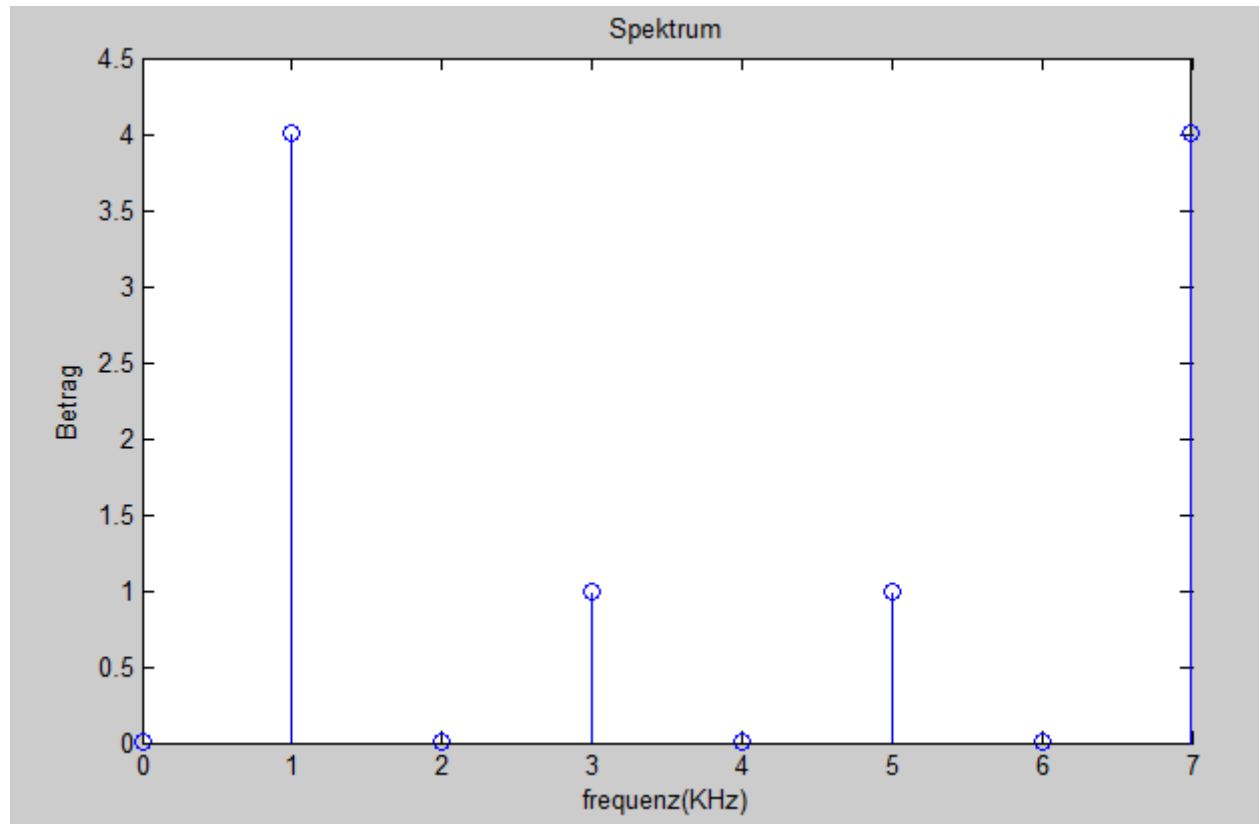
$$X[4] = 0 + j 0 = 0$$

Negative Frequenzen ab  $f_{\text{nyquist}} = \frac{1}{2} f_{\text{abstast}}$

$$X[5] = 0.7071 + j 0.7071 = (r = 1, \theta = 45)$$

$$X[6] = 0 + j 0 = 0$$

$$X[7] = 0 + j 4 = (r = 4, \theta = -90)$$



0

$N/2$

$N-1$

*Amplitudenverstärkung =  $(N/2)*A$  wenn Sin Real*

*Amplitudenverstärkung =  $N*A$  wenn Sin Komplex*

```

1      %Demo DFT
2      function [X] = dft(x)
3      -      Xsize = length(x);
4      -      for m=0:Xsize-1
5      -          summ = 0;
6      -          for n=0:Xsize-1
7      -              summ = summ+x(n+1)*(cos(2*pi*n*m/Xsize)- 1i*sin(2*pi*n*m/Xsize));
8      -          end
9      -          X(m+1)=summ;
10     -      end
    
```

```

1      %demo Spektrum Ausgabe
2      -      t = 0:length(X)-1;
3      -      stem(fs,abs(X),'b')
4      -      ylabel('Betrag');
5      -      xlabel('frequenz(KHz) ');
6      -      title ('Spektrum')
    
```

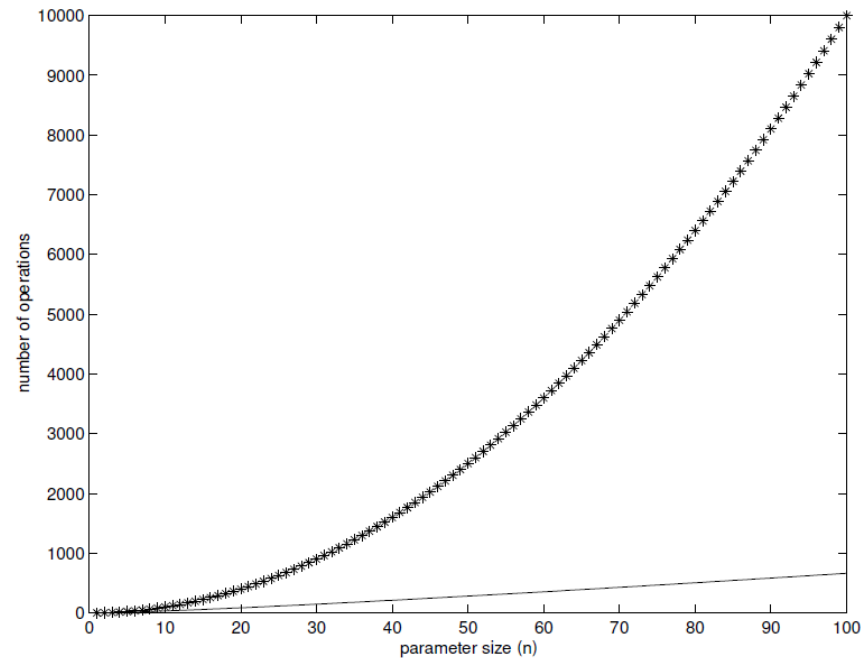


Figure 6.4: Comparing  $N \log_2(N)$  (line) versus  $N^2$  (asterisks).

Vielen Dank  
für  
Ihre Aufmerksamkeit

[Mac,Voß93] Wolfgang Mackens, Heinrich Voß, Mathematik 1 für Studierende der Ingenieurwissenschaften, Aachen 1993

[Mey10] Prof. Wolfgang Meyer, System Theorie, Vorlesungsfolie, 2010 TUHH

[Roh10] Prof. Hermann Rohling, System Theorie, Vorlesungsfolie, 2010 TUHH

[Fli91] Fliege, N.: Systemtheorie. Teubner 1991

[Wee07] Michael Weeks, Digital Signal Processing using Matlab and Wavelets , 2007  
Massachusetts